

Wyznaczenie momentu  
bezwładności przy użyciu  
wahadła torsyjnego

# Wahadło torsyjne

Równanie ruchu obrotowego krążka

$$I_0 \frac{d^2 \alpha}{dt^2} = M$$

$I_0$  – moment bezwładności krążka

$M$  – moment siły

$D$  – moment kierujący

$$M = -D\alpha$$



$$\frac{d^2 \alpha}{dt^2} + \frac{D}{I_0} \alpha = 0$$

Równanie oscylatora harmonicznego



$$\alpha = A \sin(\omega t + \varphi)$$

Częstość kołowa

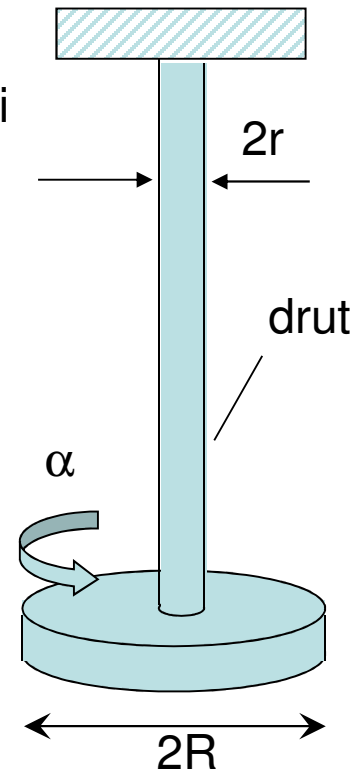
$$\omega = \sqrt{\frac{D}{I_0}}$$

Okres drgań

$$T_0 = 2\pi \sqrt{\frac{I_0}{D}}$$



- 1) Informacja o momencie bezwładności
- 2) Informacja o własnościach sprężystych drutu



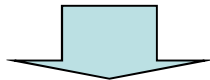
# Wahadło torsyjne

Nowy moment bezwładności  
z tw. Steinera:

$$I_1 = I_0 + 2\left[m(R - r)^2 + \frac{1}{2}mr^2\right]$$

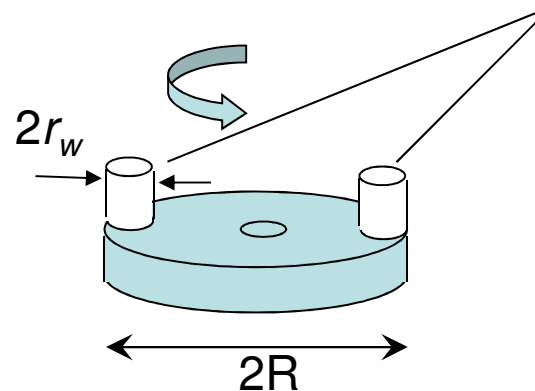
$$T_0 = 2\pi\sqrt{\frac{I_0}{D}}$$

$$T_1 = 2\pi\sqrt{\frac{I_1}{D}}$$



Wyznaczając doświadczalnie  $T_0$  oraz  $T_1$   
znajdziemy  $D$  oraz nieznaną moment  
bezwładności  $I_0$

Dwa walce o masie  $m$   
Moment bezwładności  
walca względem osi  
 $I_w = 1/2mr^2$



Podczas drgań wahadła zachodzi odkształcenie drutu polegające na ścinaniu...

# Odształcenia sprężyste

Sprężystość (elastyczność) – własność powodująca, że odkształcone ciało dąży do stanu początkowego.

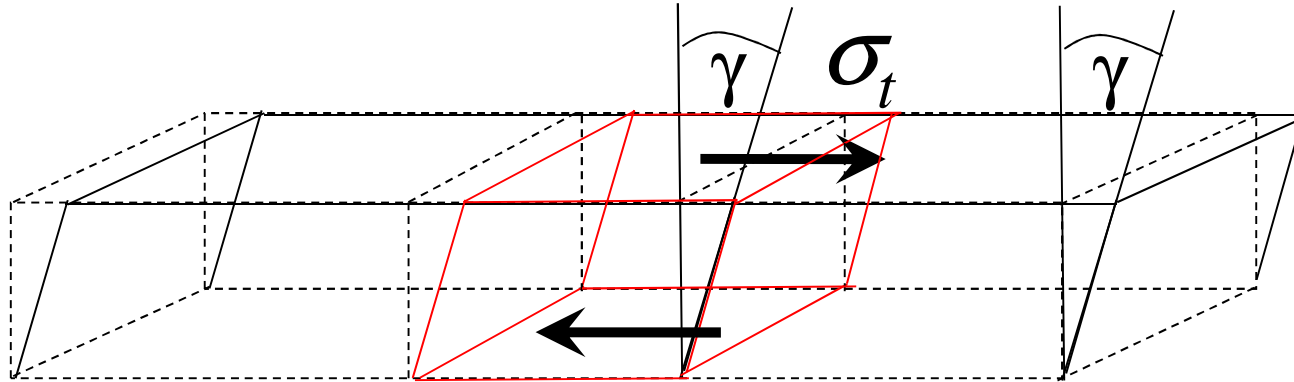
Dla idealnie sprężystych ciał naprężenia w nich wywoływane są jednoznacznymi funkcjami odkształceń.

Przy niewielkich odkształceniach własności ciał stałych można opisywać traktując je jak ciała idealnie sprężyste, wtedy, jak to wykrył R. Hooke dla prostych odkształceń, odkształcenie jest proporcjonalne do naprężenia (sprawdźmy czy ono działa...).

... a potem zajmijmy się przypadkiem odkształcenia postaci bez zmiany objętości jakim jest tzw. ścinanie...

# Ścinanie

Rozważmy kostkę prostopadłościenną przyklejonej do podłoża\*



Każdy element górnej powierzchni kostki poddany jest naprężeniu stycznemu...

$$\sigma_t = \frac{F}{S}$$

$F$  – siła działająca stycznie do górnej powierzchni kostki  
 $S$  – powierzchnia górnej ścianki kostki

Odształcenie kostki polega przesunięciu górnej ścianki w kierunku naprężenia, bez zmiany kształtu tej ścianki. Ścianka przednia i tylna przyjmują kształt równoległoboków, ścianki boczne pochylają się o kąt  $\gamma$

W tym wypadku prawo Hooke'a ma postać:

$$\gamma = \frac{\sigma_t}{G}$$

$G$  – moduł sztywności

\*Aby naprężenia powstające na brzegach nie miały znaczenia wysokość kostki powinna być znacznie mniejsza od pozostałych wymiarów

# Skręcanie (ściananie) pręta

Pręt dzielimy na rurki o promieniu  $r$  i grubości  $dr$ . Górny koniec rurki jest zamocowany.

Do dolnego końca przykładamy parę sił o tej samej wartości i przeciwnych zwrotach – tworzą one moment skręcający pręt, który równoważą naprężenia ścinające powstałe w pręcie.

Każdy element rurki ulega ścinaniu o kąt  $\gamma$

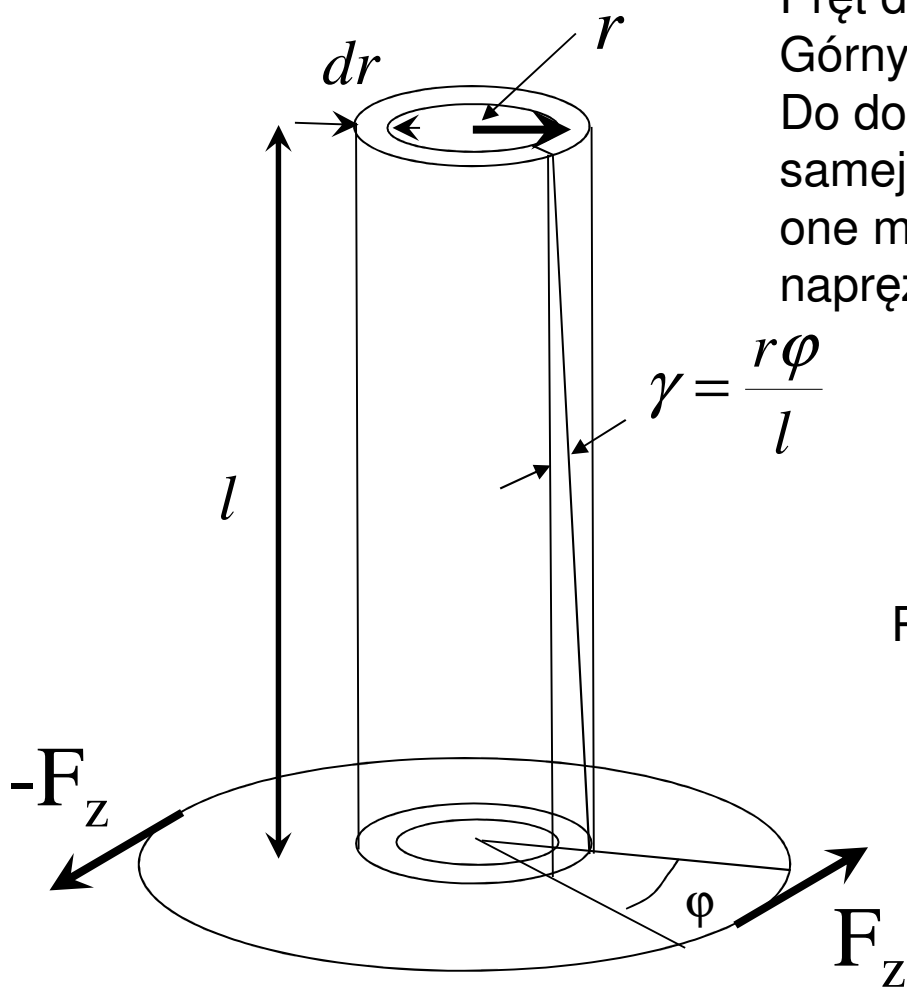
$$\gamma = \frac{\sigma_t}{G} \quad G - \text{moduł sztywności}$$

Ponieważ

$$\gamma = \frac{r\varphi}{l} \quad \begin{array}{l} \varphi - \text{kąt skręcenia końca} \\ \text{rurki} \\ l - \text{długość rurki} \end{array}$$

Zatem naprężenie ścinające:

$$\sigma_t = \frac{r\varphi}{l} G$$



# Skrećanie pręta

Moment sił sprężystości  
równoważący moment sił zewnętrznych:

$$\sigma_t = \gamma G = \frac{r\varphi}{l} G$$

$$dM = \Delta F r$$

$$dM = \sigma_t \Delta S r$$

$$dM = \sigma_t 2\pi r dr r$$

$$dM = \frac{r\varphi}{l} G 2\pi r^2 dr$$

$$dM = \frac{2\pi G}{l} \varphi r^3 dr$$

$$\sigma_t = \frac{\Delta F}{\Delta S}$$

z definicji  
naprężenia ścinającego

$\Delta F$  – siła styczna

$\Delta S$  – powierzchnia  
przekroju rurki

Sumując przyczynki od rurek o różnych promieniach  
dostajemy całkowity moment sił sprężystości równoważący  
moment sił zewnętrznych

$$M = \frac{2\pi G}{l} \varphi \int_0^R r^3 dr = \frac{G}{l} \frac{\pi R^4}{2} \varphi = D \varphi$$

$$D = \frac{G}{l} \frac{\pi R^4}{2} = \frac{G}{l} J$$

**$D$  – moment kierujący**

**$J$  – geometryczny moment bezwładności**

$$J = \iint_S r^2 dS$$

Badając drgania torsyjne wahadła fizycznego możemy wyznaczyć moduł sztywności  $G$  materiału, z którego wykonany jest drut...

Materiał	Moduł sztywności GPa	Współczynnik Poissona
guma	$1.6 \cdot 10^{-3}$	0.46-0.49
miedź	40-48	0.35
stal	82	0.29
wolfram	132	0.17
szkło	17-30	0.2-0.3



# Skręcanie wałów napędzających maszyny

Moc przekazywana przez wał napędowy:

$$P = M\omega$$

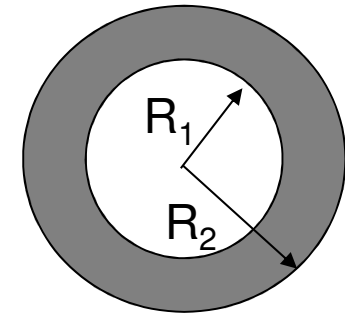
$$M = I \frac{d\omega}{dt}$$

$$P = \frac{d}{dt}(E_k) = \frac{d}{dt}\left(\frac{1}{2} I \omega^2\right) = I \omega \frac{d\omega}{dt} = I \frac{d\omega}{dt} \omega = M \omega$$

Zamiast wałów stosuje się czasem rury...

$$M = \frac{2\pi G}{l} \varphi \int_{R_1}^{R_2} r^3 dr = \frac{G}{l} \frac{\pi(R_2^4 - R_1^4)}{2} \varphi = \frac{G}{l} J_r \varphi$$

$$J_r = \frac{\pi(R_2^4 - R_1^4)}{2}$$



Jaki powinien być promień zewnętrzny  $R_2$  rury o promieniu wewnętrznym  $R_1$ , aby dawała ona taki sam moment skręcający jak pręt o promieniu  $R_1$

$$\frac{\pi R_1^4}{2} = \frac{\pi(R_2^4 - R_1^4)}{2}$$



$$R_2 = \sqrt[4]{2} R_1 \cong 1,19 R_1$$

$$\frac{S_2}{S_1} = \frac{\sqrt{2} R_1^2 - R_1^2}{R_1^2} = \sqrt{2} - 1$$

**Warto używać pustych wałków!**

# Sprężyna

Przy rozciąganiu sprężyny drut, z którego jest ona wykonana ulega skręceniu o kąt  $\alpha$  (nie jest to jednak tak proste jakby się wydawało – trudno zauważyć skręcenie drutu, gdy rozciągamy sprężynę – jak to się dzieje - patrz dodatek).

$$\varphi = \frac{\Delta h}{R_s} \quad R_s - \text{promień sprężyny}$$

Skręcenie to wywoła pojawienie się momentu siły:

$$M = \frac{\pi r^4}{2} \frac{G}{l} \varphi \quad \begin{array}{l} r - \text{promień drutu} \\ l - \text{długość drutu} \end{array}$$

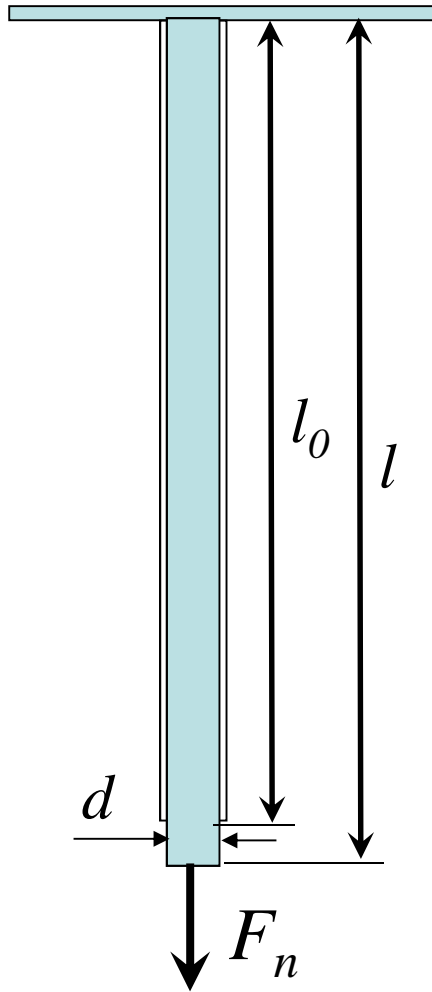
Moment sił sprężystości równoważy moment siły zewnętrznej  $F$  przyłożonej dokładnie wzdłuż osi sprężyny

$$M = R_s F$$

Łącząc powyższe wzory i biorąc pod uwagę, że długość drutu sprężyna wynosi  $l = 2\pi N R_s$  (gdzie  $N$  – liczba zwojów sprężyny) dostajemy ostatecznie:

$$F = \frac{Gr^4}{4R_s^3 N} \Delta h \quad F_z = -k\Delta h \quad k = \frac{Gr^4}{4R_s^3 N}$$

# Rozciąganie drutu



Wydłużenie względne:  $\frac{l - l_0}{l_0} = \frac{\Delta l}{l_0} = \varepsilon$

Prawo Hooke'a (dla niewielkich odkształceń):

$$\varepsilon = \frac{\sigma}{E}$$

$\sigma$  - naprężenie normalne  
 $E$  - moduł Younga

$$\sigma = \frac{F_n}{S}$$

$$F_n = SE \frac{\Delta l}{l_0}$$

Przewężenie względne:

$$\varepsilon_t = -\frac{\Delta d}{d_0}$$

Dla odkształceń sprężystych:

$$\varepsilon_t = \mu \varepsilon$$

lub

$$\mu = \frac{\varepsilon_t}{\varepsilon}$$

$\mu$  - współczynnik Poissona

# Moduł Younga

Materiał	Moduł Younga (E) GPa
<u>guma</u>	0,01-0,10
<u>Polietylen</u> (LDPE)	0,2
<u>Polipropylen</u> (PP)	1,5-2,0
Oślonka <u>wirusa</u>	1-3
<u>Poli(tereftalan etylenu)</u> (PET)	2,0-2,5
<u>Polistyren</u> (PS)	3,0-3,5
<u>Nylon</u>	2-4
<u>Drewno dębowe</u> (wzdłuż włókien)	11
<u>Beton</u> wysokiej wytrzymałości (ściskany)	30
<u>Magnez</u> (Mg)	45
Stop <u>glinu (aluminium)</u> (Al)	69
<u>Szkło</u> ( <u>SiO<sub>2</sub></u> , <u>Na<sub>2</sub>CO<sub>3</sub></u> , <u>CaCO<sub>3</sub></u> )	72

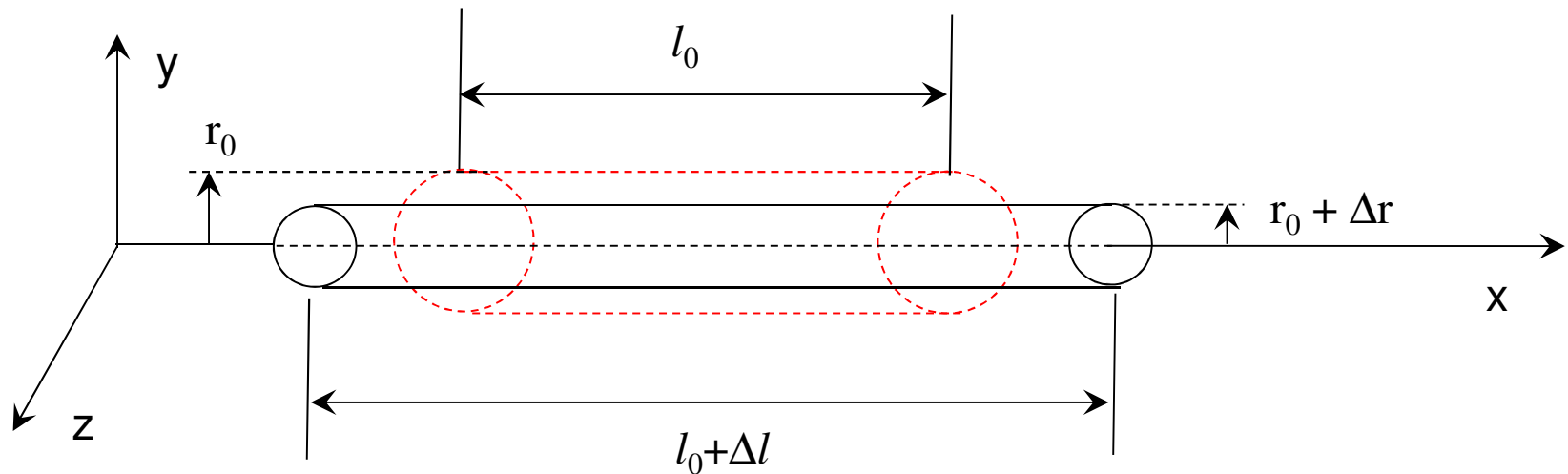
Materiał	Moduł Younga (E) GPa
<u>Szkło</u> ( <u>SiO<sub>2</sub></u> , <u>Na<sub>2</sub>CO<sub>3</sub></u> , <u>CaCO<sub>3</sub></u> )	72
<u>Mosiądz</u> ( <u>Cu</u> , <u>Zn</u> ) i <u>Braz</u> ( <u>Cu</u> , <u>Sn</u> )	103-124
<u>Tytan</u> (Ti)	105-120
<u>Kompozyt z</u> <u>włókna węglowego</u>	150
<u>Żelazo kute</u> i <u>stal</u>	<b>190-210</b>
<u>Wolfram</u> (W)	400-410
<u>Węglik krzemu</u> (SiC)	450
<u>Węglik tytanu</u> (TiC)	450-650
<u>Miedź</u>	100-115
<u>Cynk</u>	84
<u>Ołów</u>	16
<u>Cyna</u>	47
<u>Nanorurka</u> <sup>[1]</sup>	<b>&gt;1 000</b>
<u>Diament</u> (C)	<b>1 050-1 200</b>

<http://pl.wikipedia.org/>

# Współczynnik Poissona

Materiał	$\mu$
Guma	0,46-0,49
Ołów	0,45
Aluminium	0,34
Stal	0,29
Szkło	0,2-0,3
Kwarc	0,2
Wolfram	0,17

# Zmiana objętości pręta przy rozciąganiu



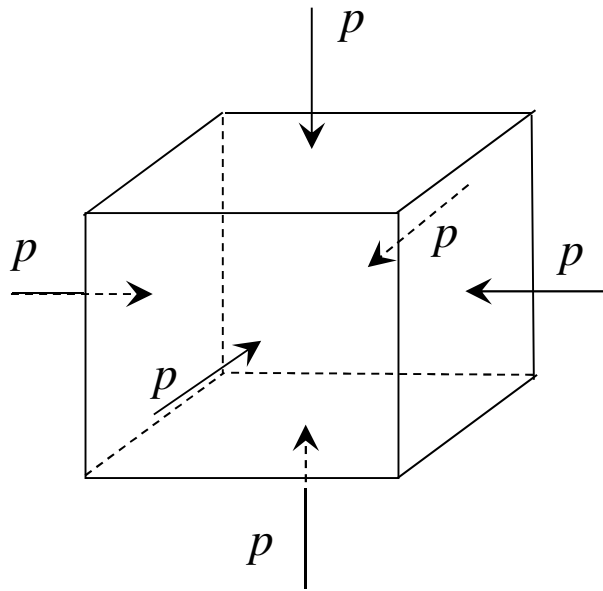
Zmiana objętości przy rozciąganiu:

$$\begin{aligned}\Delta V &= \pi(r_0 + \Delta r)^2(l_0 + \Delta l) - \pi r_0^2 l_0 = \\ &\approx \pi r_0^2 l_0 \left( \frac{\Delta l}{l_0} + 2 \frac{\Delta r}{r_0} \right) = V_0 \left( \frac{\sigma}{E} - 2\mu \frac{\sigma}{E} \right) = V_0 \frac{\sigma}{E} (1 - 2\mu)\end{aligned}$$

Doświadczenie pokazuje, że  $\Delta V/V \geq 0 \quad \longrightarrow \quad \mu \leq 1/2$

# Odształcenie objętości

Względna zmiana objętości:



$$\mu = \frac{\varepsilon_t}{\varepsilon}$$

$$\delta = \frac{\Delta V}{V_0} = -\kappa p$$

$$K = \frac{1}{\kappa}$$

$p$  – ciśnienie

$\kappa$  – współczynnik ścisłości

$K$  – moduł ścisłości

Doświadczenie myślowe:

- każda z krawędzi ulega skróceniu o czynnik  **$(1-p/E)$**
- jednocześnie w wyniku działania ciśnienia w kierunku poprzecznym poissonowskie wydłużeniu w stosunku  **$(1+\mu p/E)(1+\mu p/E)$**

Długość krawędzi po deformacji:

$$l = l_0(1-p/E)(1+\mu p/E)^2$$

$$V = l_0^3 \left(1 - \frac{p}{E}\right)^3 \left(1 + \frac{\mu p}{E}\right)^6 \cong V_0 \left(1 - 3\frac{p}{E}\right) \left(1 + 6\frac{\mu p}{E}\right) \cong V_0 \left(1 - \frac{3(1-2\mu)}{E} p\right)$$

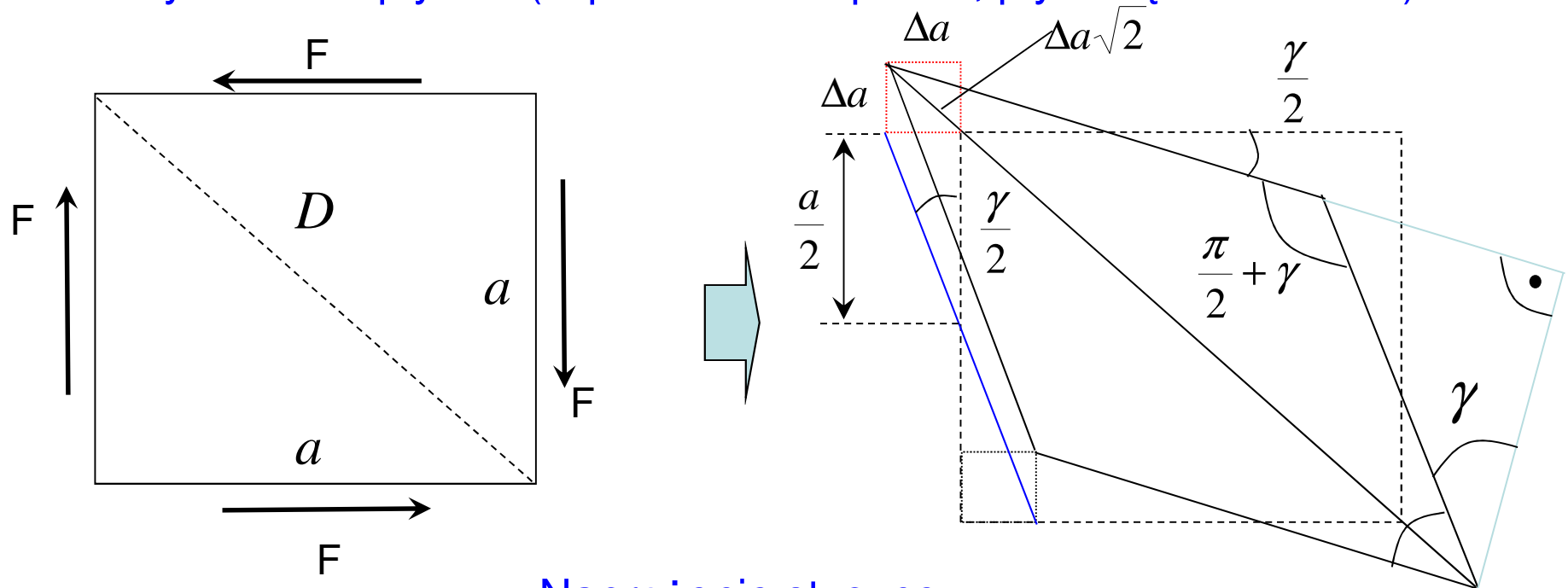
$$-\frac{\Delta V}{V_0} = \frac{3(1-2\mu)}{E} p$$



$$\kappa = \frac{3(1-2\mu)}{E} \text{ lub } K = \frac{E}{3(1-2\mu)}$$

Związek pomiędzy modułem Younga i modułem sztywności.

Rozważmy ścinanie płytki...(w poziomie i w pionie, płyta się nie obraca)



$d$  – grubość płytki

Naprężenie styczne:

$$\sigma_t = \frac{F}{ad}$$

$\frac{\gamma}{2}$  bo w efekcie ścinania w pionie i poziomie kąt ścięcia est dwa razy większy

Naprężenie normalne:

$$\sigma_n = \frac{F\sqrt{2}}{ad\sqrt{2}} = \frac{F}{ad} = \sigma_t$$



$$\sigma_n = \sigma_t$$

Wypadkowa siła wzdłuż przekątnej, do powierzchni przekroju płytki wzdłuż przekątnej...



Naprężenia normalne rozciąga przekątną

$$2\Delta D = 2\Delta a\sqrt{2}$$

Zmiana długości przekątnej:

- rozciąganie „podłużne”
- ściskanie poissonowskie

$$2\Delta D = \frac{\sigma_n}{E} D + \mu \frac{\sigma_n}{E} D = \frac{1+\mu}{E} \sigma_n D$$



$$2\Delta a\sqrt{2} = \frac{1+\mu}{E} \sigma_t a\sqrt{2}$$



$$\frac{2\Delta a}{a} = \frac{1+\mu}{E} \sigma_t$$

Zmiana kąta pomiędzy bokami

$$\gamma = \frac{\sigma_t}{G} \quad G - \text{moduł sztywności}$$

$$\text{tg} \frac{\gamma}{2} \cong \frac{\gamma}{2} = \frac{\Delta a}{a/2} = \frac{2\Delta a}{a} \quad \frac{\gamma}{2} = \frac{\sigma_t}{2G}$$



$$\frac{2\Delta a}{a} = \frac{\sigma_t}{2G}$$



$$\frac{\sigma_t}{2G} = \frac{1+\mu}{E} \sigma_t$$

$$G = \frac{E}{2(1+\mu)}$$



ograniczenie na wsp. Poissona

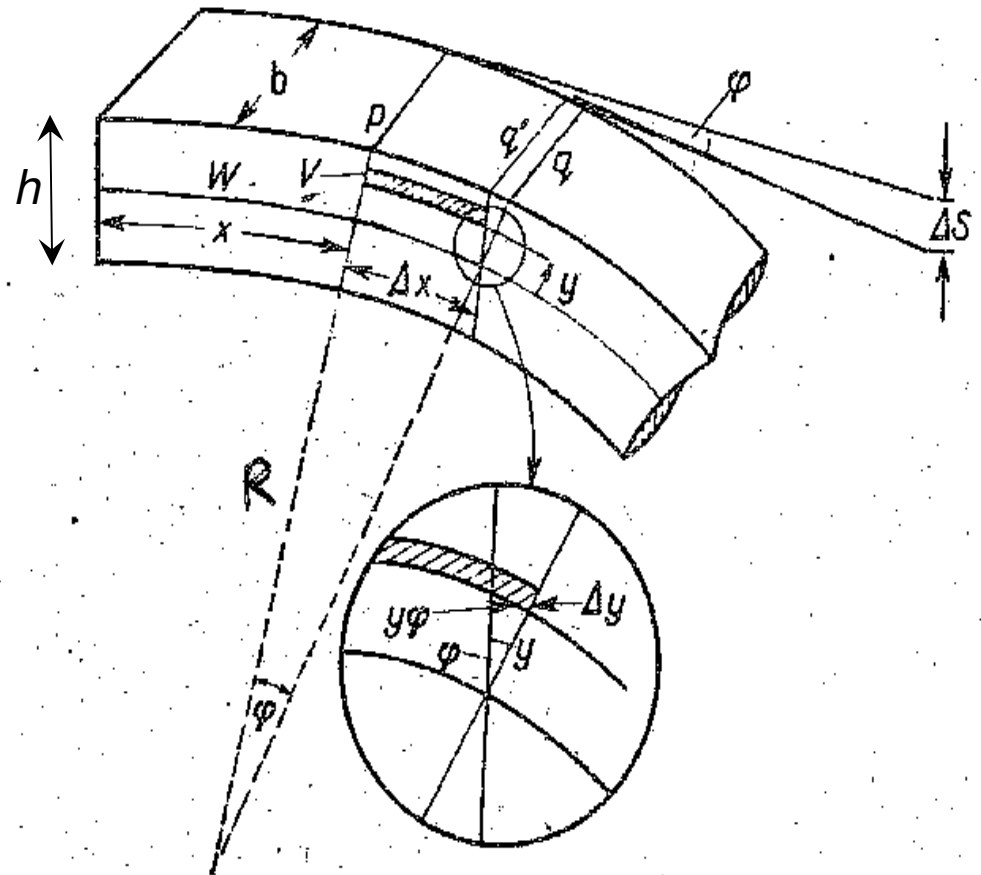
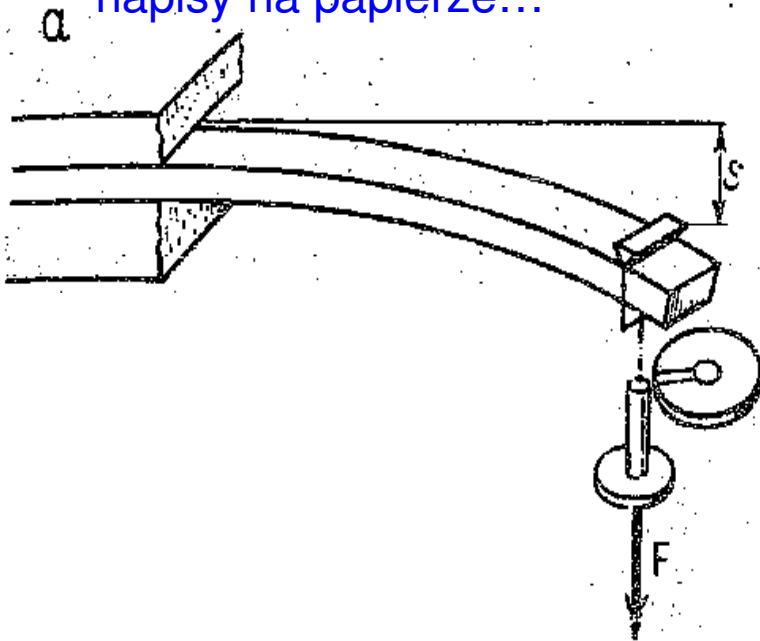
$$\mu > -1$$

Czyli:

G mniejsze niż E (od 1/3 do 1/2 E)

# Zginanie belki

Popatrzmy jak odkształca się gumka myszka, napisy na papierze...



- przed odkształceniem przekroje  $p$ ,  $q$  były równoległe (odległe od punktu zamocowania o  $x$ ,  $x + \Delta x$ )
- po ugięciu przekroje tworzą kąt  $\varphi$
- warstwa  $V$  znajdująca się w odległości  $y$  od warstwy  $W$  (neutralnej) wydłuża się o  $\varphi y$
- element belki o długości  $\Delta x$  i grubości  $\Delta y$  i szerokości  $b$  jest odkształcany pod wpływem siły  $F_n = \sigma \Delta A$  ( $\Delta A$  – pole przekroju poprzecznego warstwy  $V$ )

$$\Delta F_n = \sigma \Delta A = E \varepsilon \Delta A$$

Powierzchnia elementu  $V$  :

$$\Delta A = b \Delta y$$

Wydłużenie względne (rysunek):  $\varepsilon = \frac{\varphi y}{\Delta x}$

Stąd: 
$$\Delta F_n = E \frac{\varphi y}{\Delta x} b \Delta y$$

Moment tej siły względem warstwy  $W$

$$\Delta M = y \Delta F_n = E \frac{\varphi}{\Delta x} b y^2 \Delta y$$

Sumując przyczynki od wszystkich warstw mamy:

$$M = E \frac{\varphi}{\Delta x} \int_{-h/2}^{h/2} b y^2 dy = E \frac{\varphi}{\Delta x} J$$

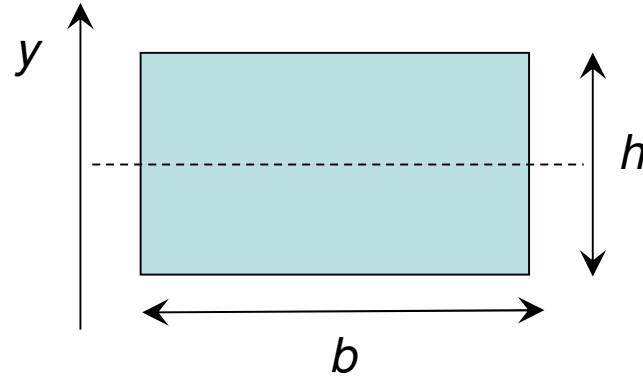
gdzie geometryczny moment  
bezwładności

(element powierzchni zamiast masy)

$$J = \int_{-h/2}^{h/2} b y^2 dy \equiv \int_A y^2 dA$$

Dla belki o przekroju prostokątnym (zginanej prostopadle do  $h$ )

$$J = \frac{1}{12}bh^3$$



Moment sił sprężystości  
wytworzony w elemencie belki o  
długości  $\Delta x$  :

$$M = E \frac{\varphi}{\Delta x} J \quad \Longrightarrow \quad \varphi = \frac{M}{EJ} \Delta x$$

Belkę odkształca moment siły  
zewnętrznej  $F$

$$M = (l - x)F \quad \Longrightarrow \quad \varphi = \frac{F}{EJ} (l - x) \Delta x$$

Ponieważ pomiędzy stycznymi do belki w punktach  $p$ ,  $q$  wynosi  $\varphi$ , to  
przyczynek  $\Delta S$  do ugięcia belki  $S$  wyniesie:

$$\Delta S = \varphi(l - x) \quad \Longrightarrow \quad \Delta S = \frac{F}{EJ} (l - x)^2 \Delta x$$

Sumując ugięcia od wszystkich przyczynków  $\Delta x$  dostajemy:

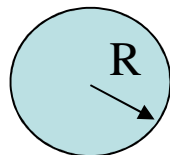
$$S = \frac{F}{EJ} \int_0^l (l-x)^2 dx = \frac{1}{3} \frac{F}{EJ} l^3$$

Dla belki o przekroju prostokątnym:

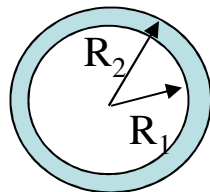
$$S = \frac{4}{bh^3} \frac{l^3}{E} F$$

Ugięcie zależy od kształtu przekroju!

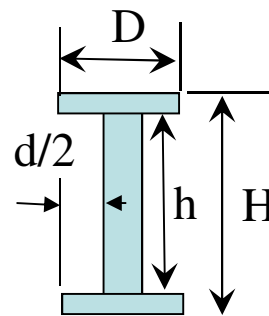
$$J_p = \frac{\pi}{4} R^4$$



$$J_r = \frac{\pi}{4} (R_2^4 - R_1^4)$$



$$J_t = \frac{1}{12} (DH^3 - 2dh^3)$$



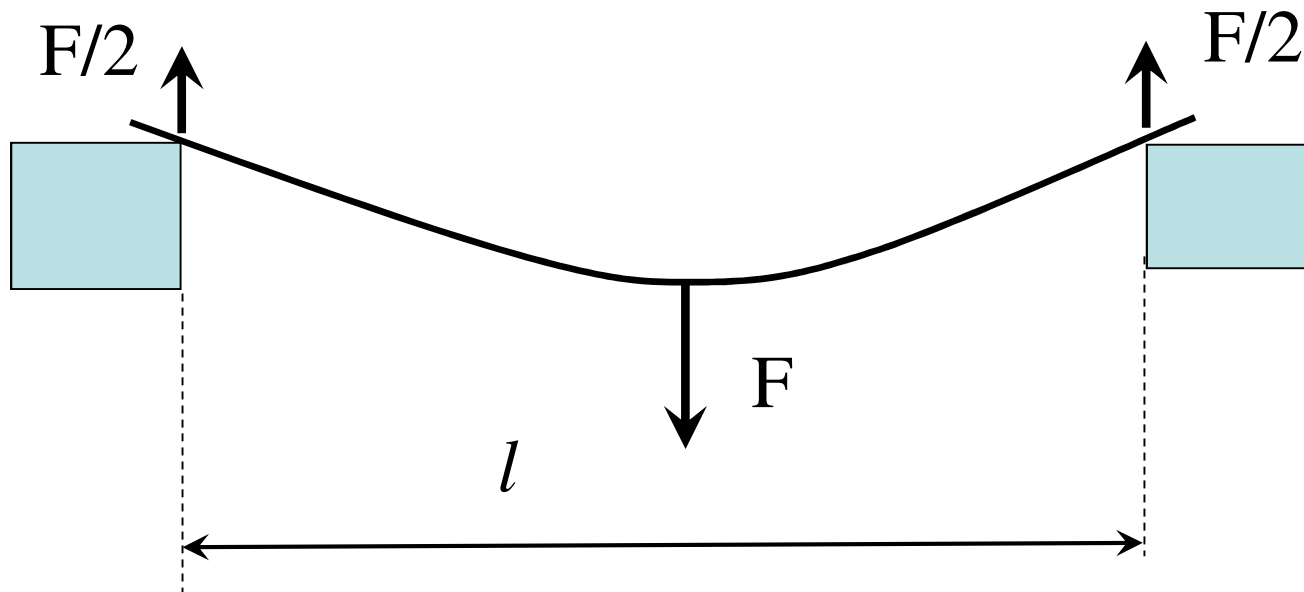
Im większy moment Geometryczny, tym trudniej zginać!

Materiał powinien być więc jak najdalej od osi zginania.

Puste w środku wytrzymałsze?

Mosty, konstrukcje i kości...

# Podparcie (nieważkiej...) belki z dwóch końców



Belka zamocowana  
z jednej strony

$$S_1 = \frac{4}{bh^3} \frac{l^3}{EJ} F$$

Belka podparta  
z dwóch stron

$$S_2 = \frac{4}{bh^3} \frac{(l/2)^3}{EJ} (F/2) = S_1 / 16$$

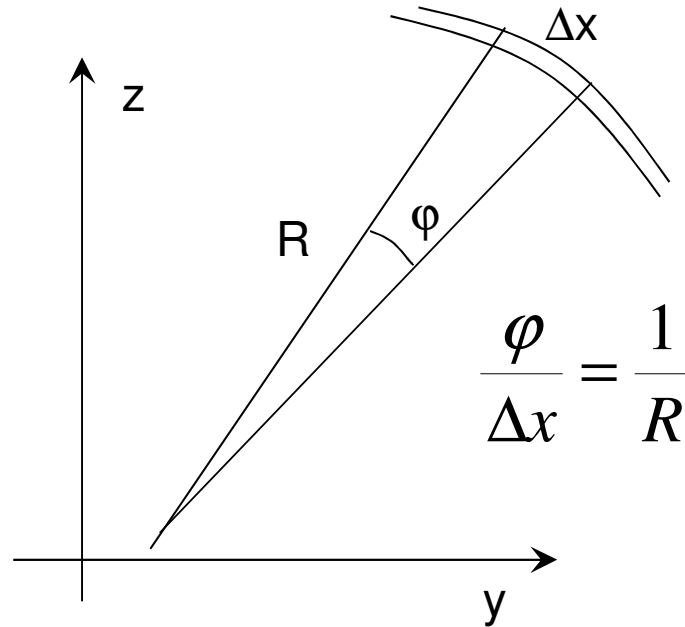
**Czyli znacznie mniej się ugina!**

Spróbujcie sami znaleźć ugięcie belki zamocowanej z dwóch stron...

Moment siły jeszcze raz...

$$M = E \frac{\varphi}{\Delta x} J$$

$$M(x) = \frac{EJ}{R(x)}$$



Promień krzywizny

$$\frac{\varphi}{\Delta x} = \frac{1}{R}$$

Z matematyki wiadomo, że krzywizna

$$\frac{1}{R} = \frac{\partial^2 z}{\partial x^2} \frac{1}{\left(1 + \left(\frac{\partial z}{\partial x}\right)^2\right)^{3/2}}$$

Dla małych ugięć:

$$\frac{1}{R} = \frac{\partial^2 z}{\partial x^2}$$

Stąd można uzyskać informacje kształcie belki...

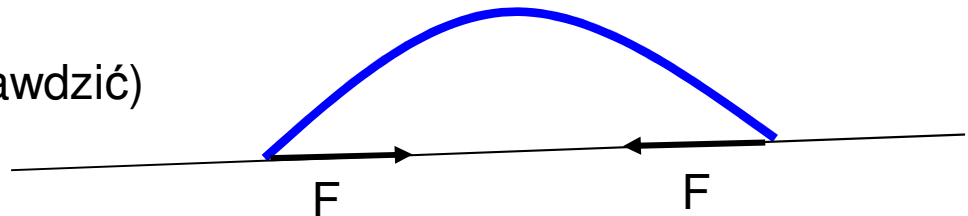
$$M(x) = EJ \frac{\partial^2 z}{\partial x^2} \quad \longrightarrow \quad \boxed{\text{równanie na kształt belki}}$$

$$\frac{\partial^2 z}{\partial x^2} = \frac{F}{EJ} (l - x) \quad \text{dla } x = 0 \quad z = 0, \frac{\partial z}{\partial x} = 0$$

$$\begin{aligned} \frac{\partial z}{\partial x} &= -\frac{1}{2} \frac{F}{EJ} (l - x)^2 + C \\ z(x) &= \frac{1}{6} \frac{F}{EJ} (l - x)^3 + Cx + D \end{aligned} \quad \begin{array}{l} \text{warunki} \\ \text{brzegowe} \end{array} \quad \begin{array}{l} C = \frac{1}{2} \frac{F}{EJ} l^2 \\ D = -\frac{1}{6} \frac{F}{EJ} l^3 \end{array} \quad \longrightarrow \quad \begin{array}{l} \text{Strzałka ugięcia} \\ \text{belki zamocowanej} \\ \text{na jednym z końców} \\ z(l) = \frac{1}{3} \frac{F}{EJ} l^3 \end{array}$$

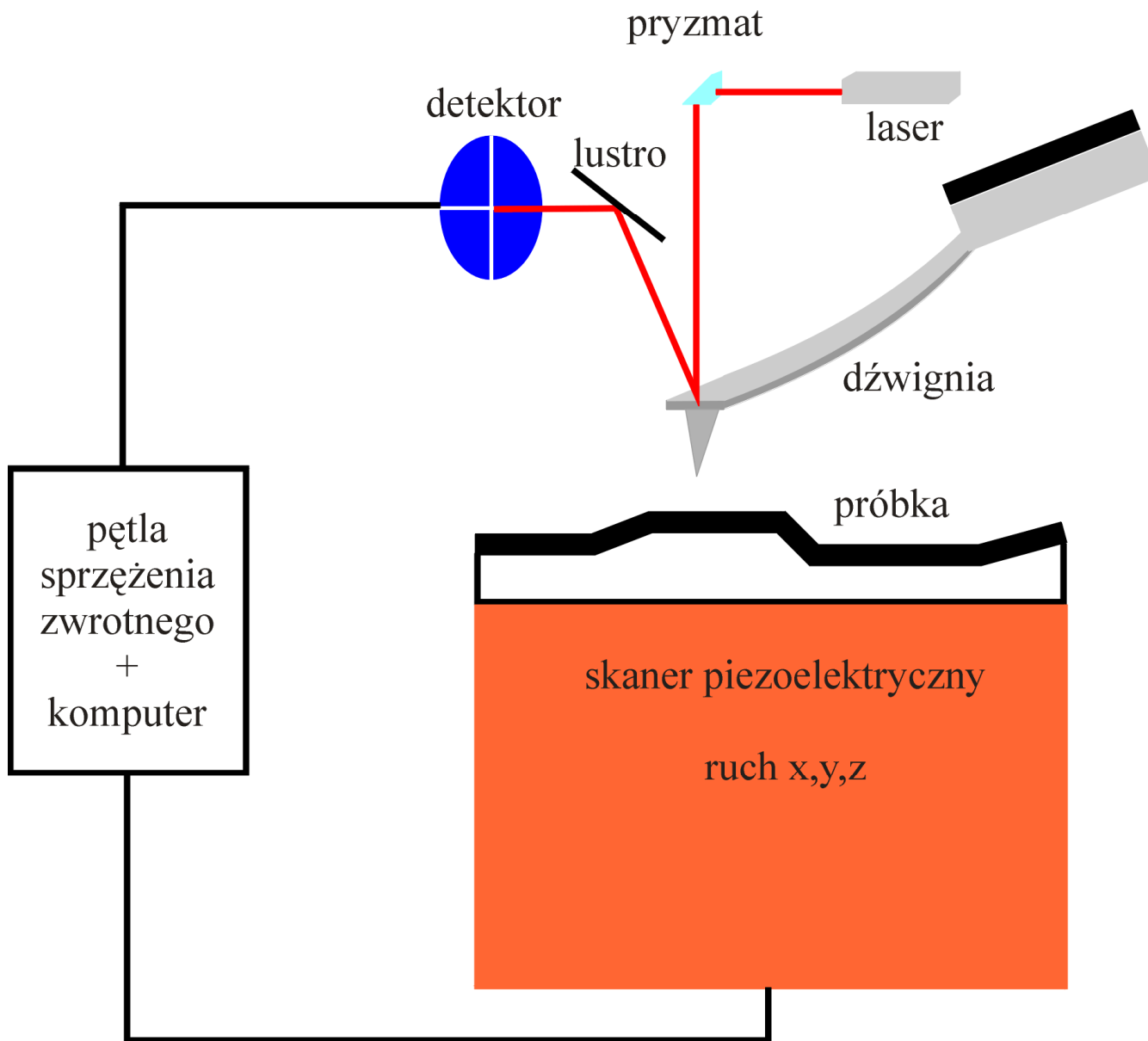
Wyboczenie belki ...(warto sprawdzić)

$$M(x) = EJ \frac{\partial^2 z}{\partial x^2}$$





# ZASADA DZIAŁANIA MIKROSKOPU SIŁ ATOMOWYCH

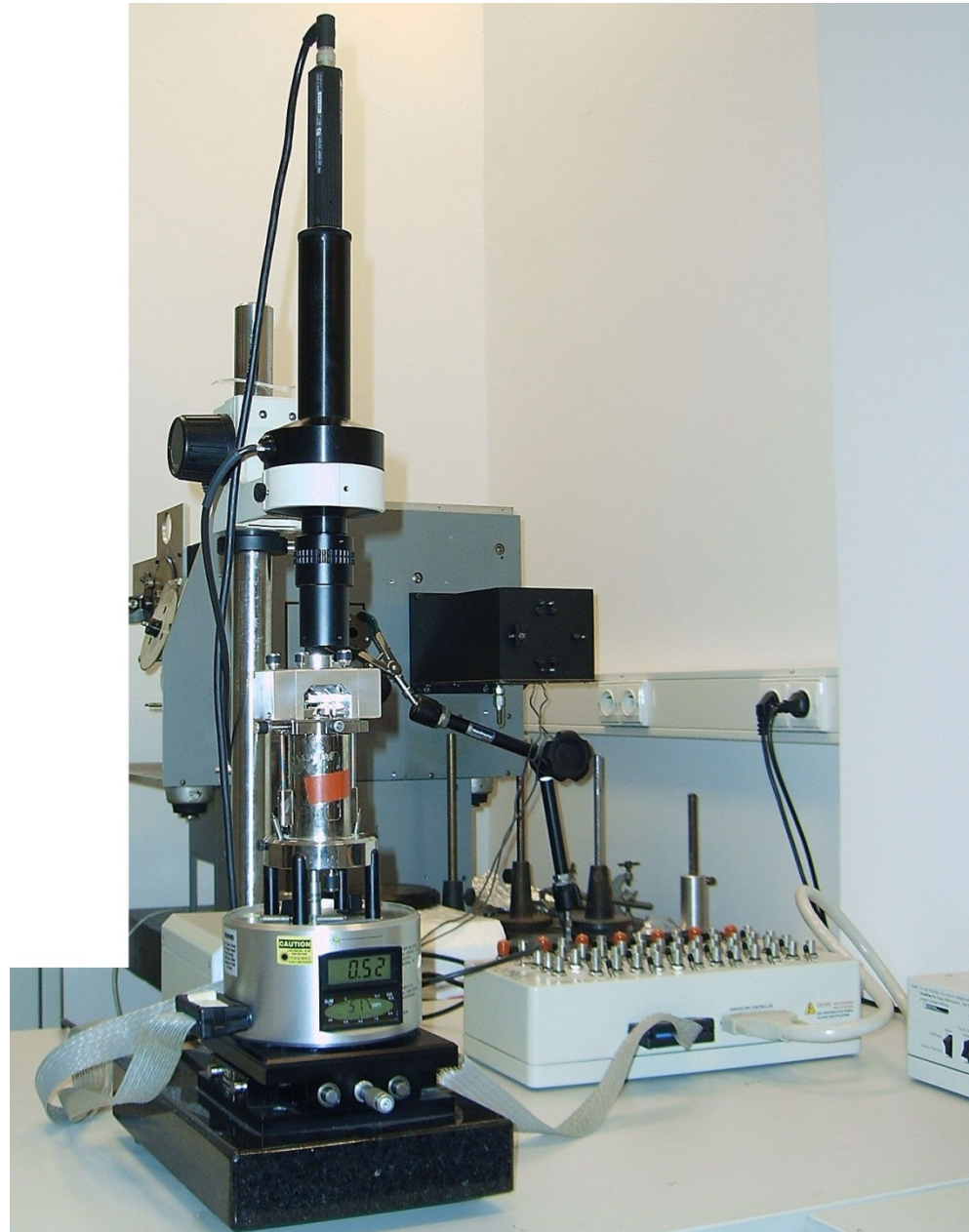


# Mikroskop AFM

mikroskop  
optyczny  
z kamerą

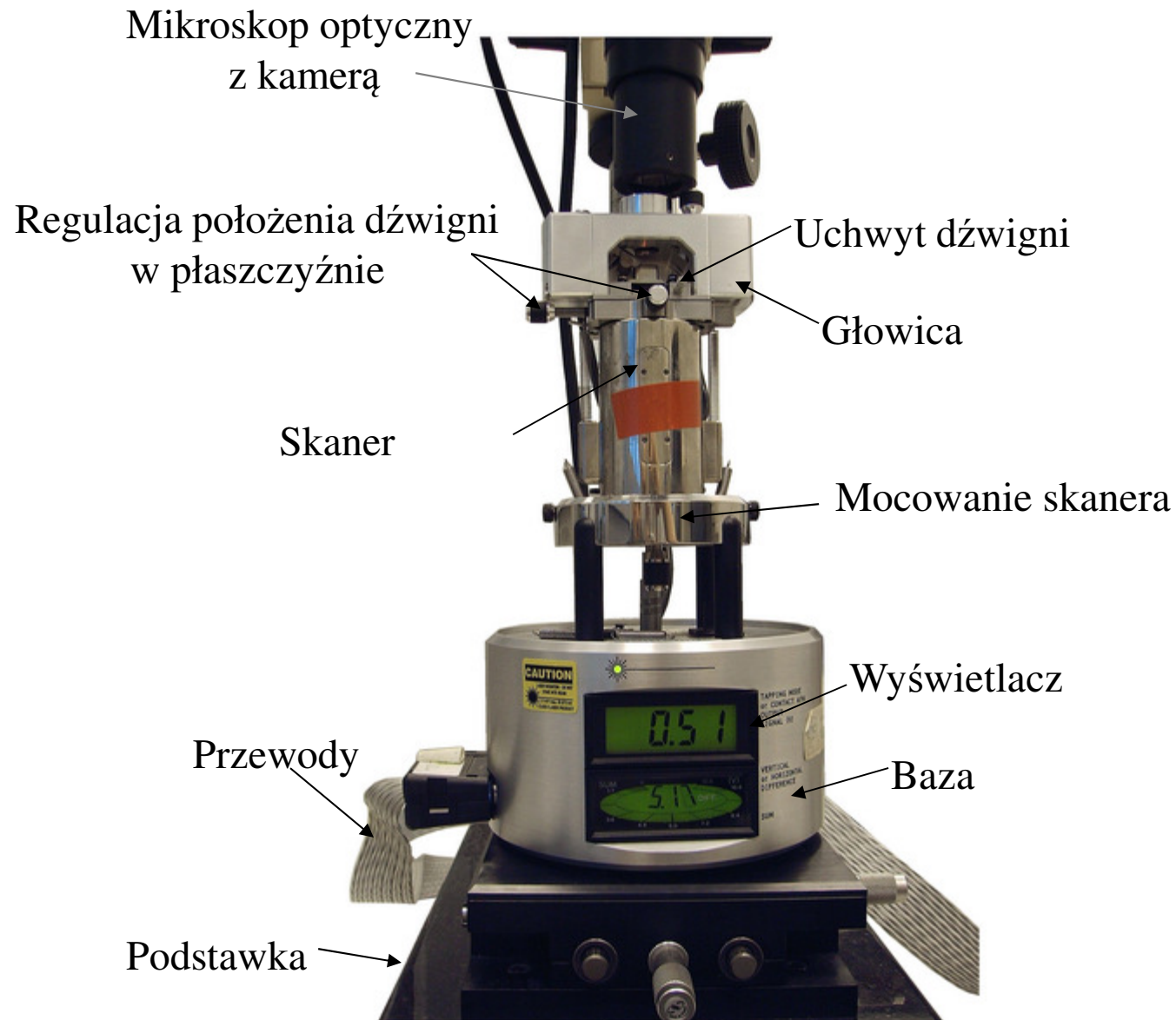
AFM  
~25cm

podstawa

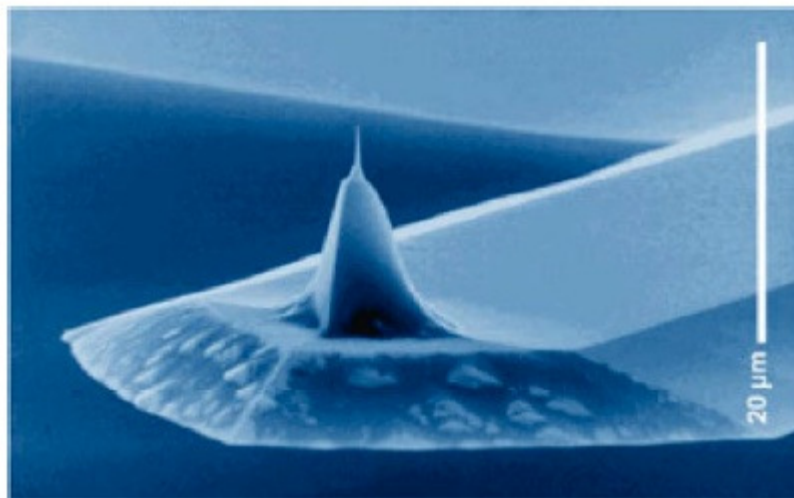
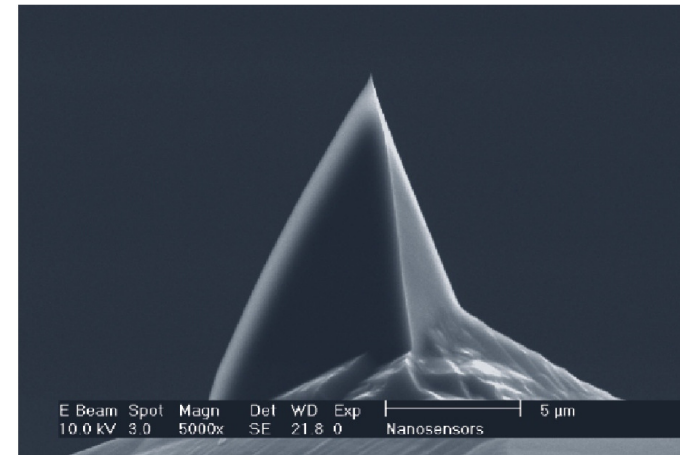
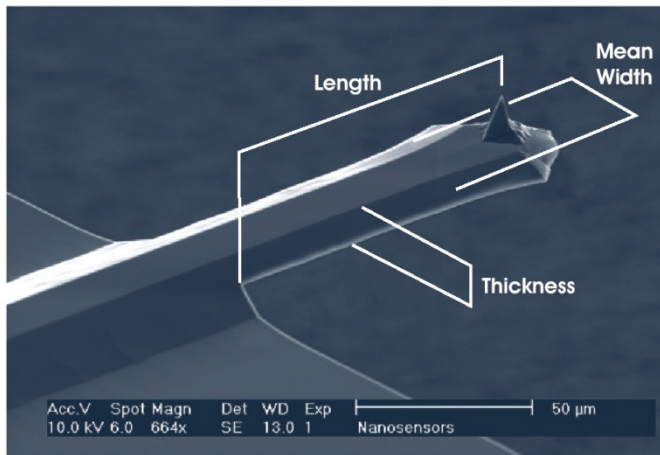


MultiMode AFM  
+Nanoscope IIIa  
Digital Instruments  
(obecnie Veeco)

# Budowa mikroskopu AFM: ruchoma próbka

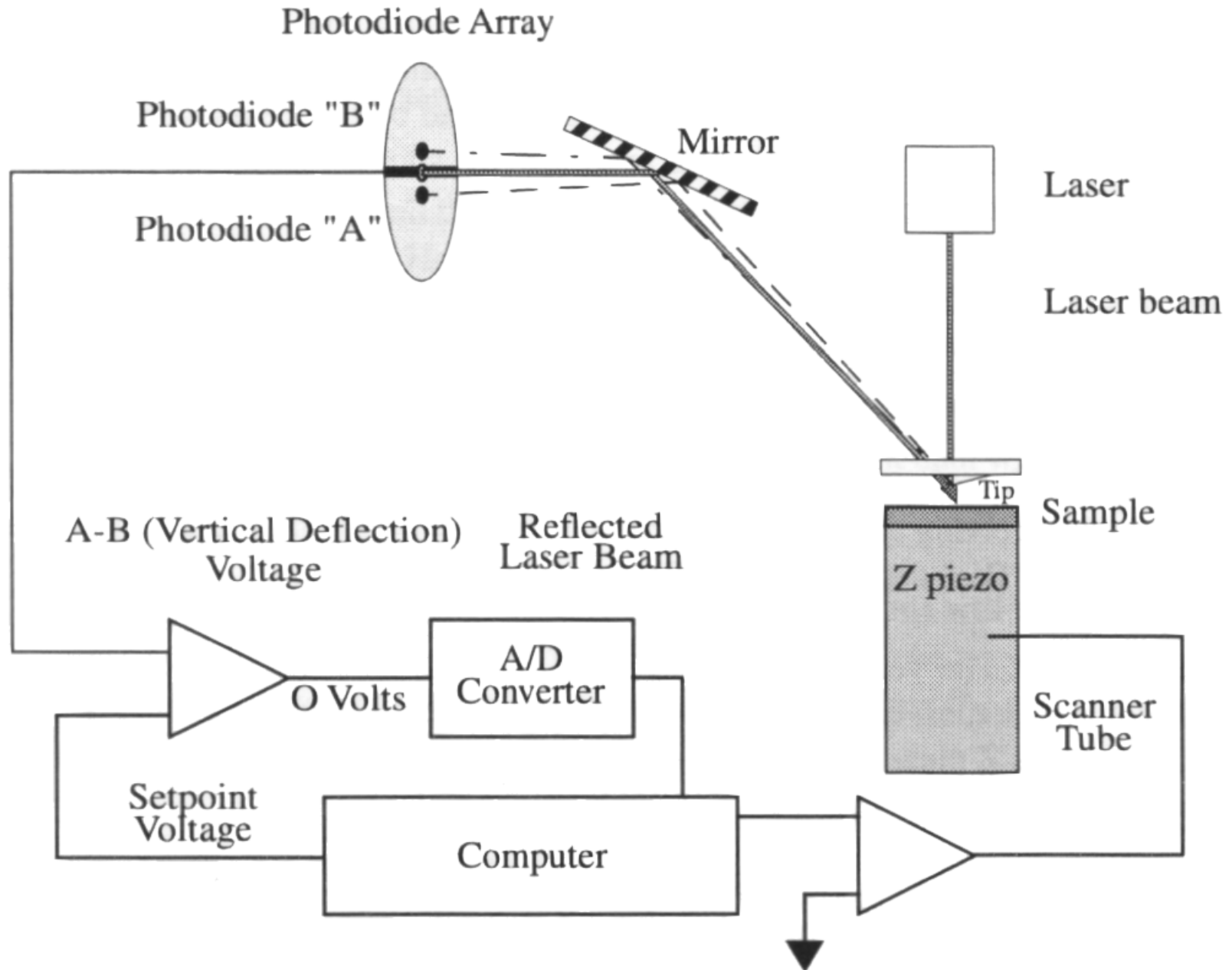


# Dźwignia „tapping mode”

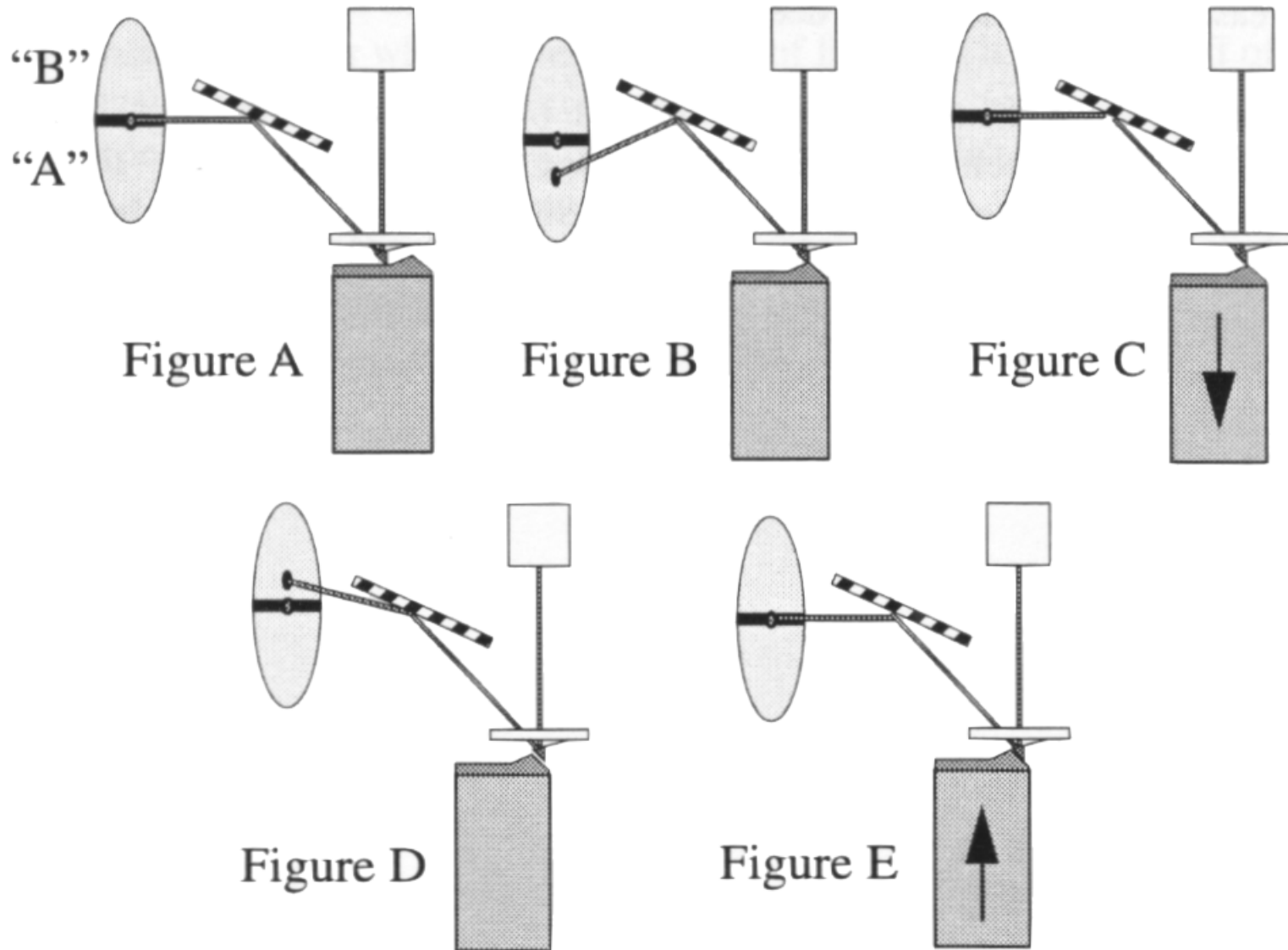


<b>Długość</b>	<b>125 <math>\mu</math>m</b>
<b>Szerokość</b>	<b>30 <math>\mu</math>m</b>
<b>Grubość</b>	<b>3 <math>\mu</math>m</b>
<b>Wysokość</b>	<b>10 <math>\mu</math>m</b>
<b>Stała sprężystości</b>	<b>100 N/m</b>
<b>Częstość rezonansowa</b>	<b>~300 kHz</b>
<b>Promień krzywizny</b>	<b>10 nm</b>
<b>Kąt rozwarcia stożka</b>	<b>30°</b>

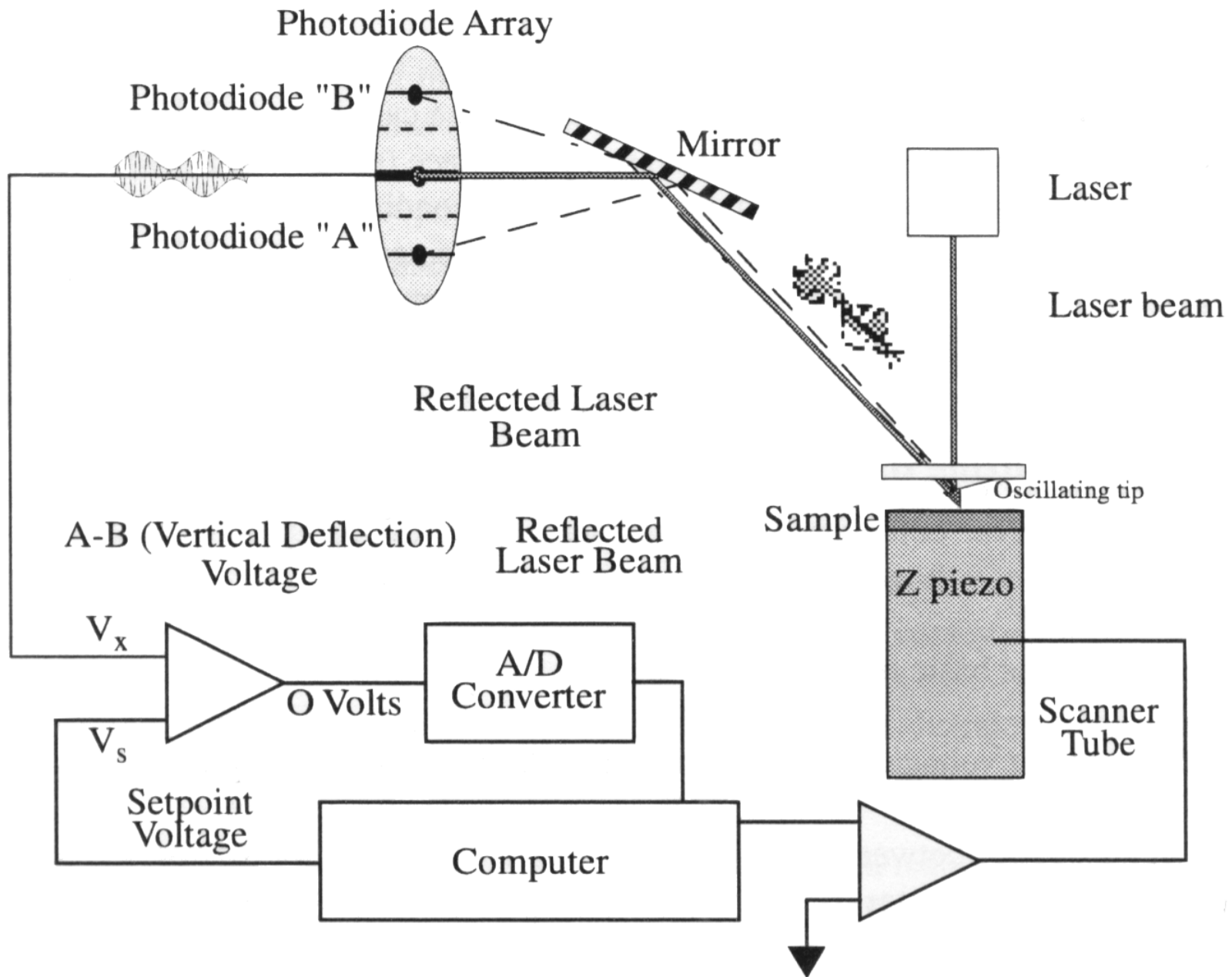
# Tryb kontaktowy („contact mode”)



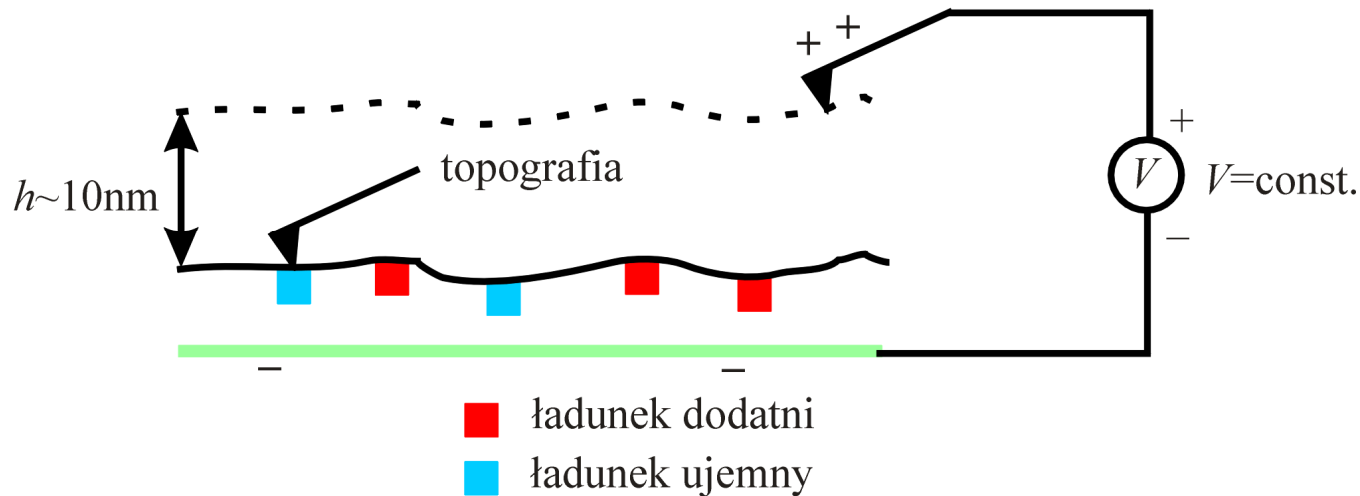
# Tryb kontaktowy („contact mode”)



# (TappingMode™ AFM)



# EFM – Electric Force Microscopy (Kelvin Probe Microscopy)

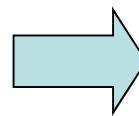


$$F(x) = F(x_0) + (x - x_0) \frac{\partial F}{\partial x} + \dots \quad \Delta \omega_0 = \frac{1}{2} \frac{\partial F}{\partial x} \frac{\omega_0}{k}$$

Siła elektryczna (gradient)  $\Leftrightarrow$  zmiana częstości rezonansowej

Pętla sprzężenia zwrotnego: utrzymanie rezonansu

**Przyciąganie  $\Leftrightarrow$  Spadek częstości**  
**Odpychanie  $\Leftrightarrow$  Wzrost częstości**

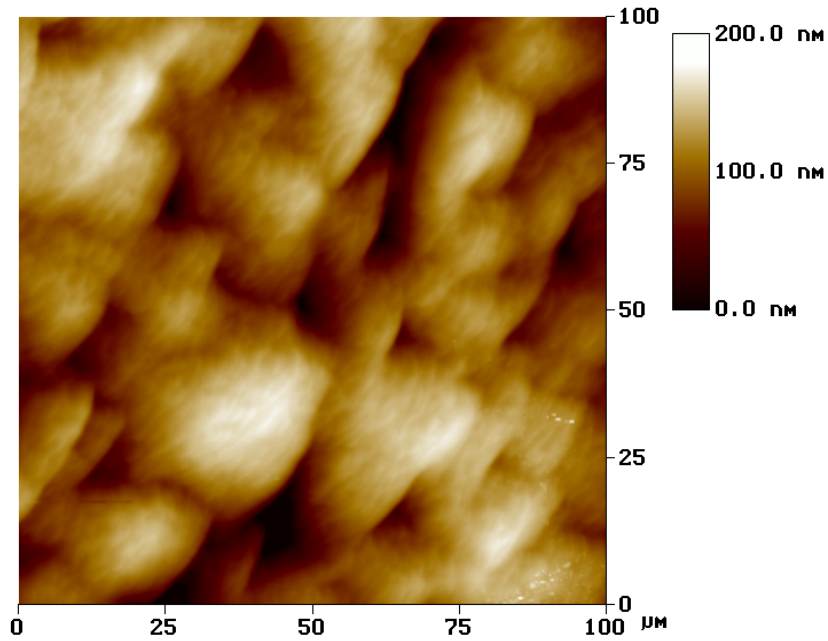


Doświadczenie w skali makro  
z ciężarkiem na brzeszczocie  
i magnesami...

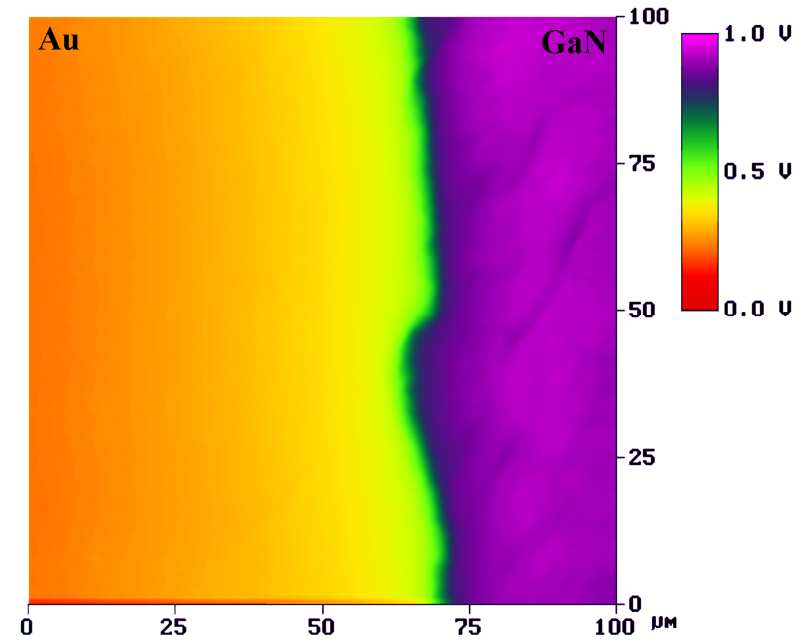


# Dioda Schottky'ego Au/GaN

(złącze metal-półprzewodnik)



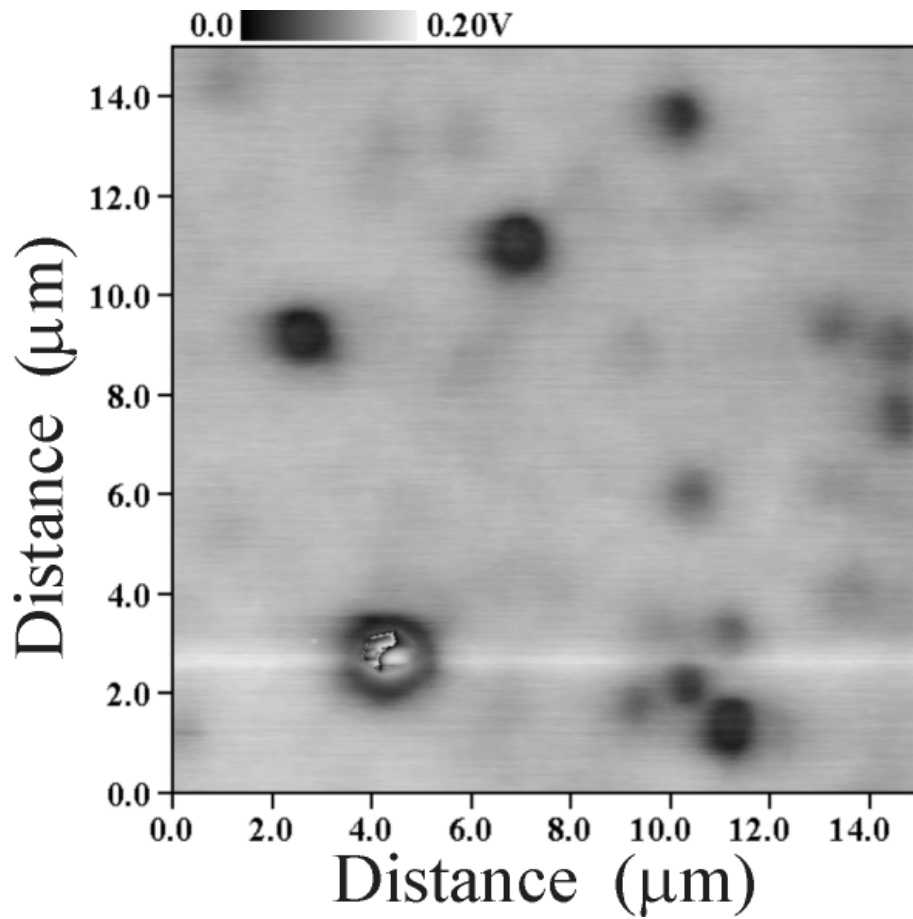
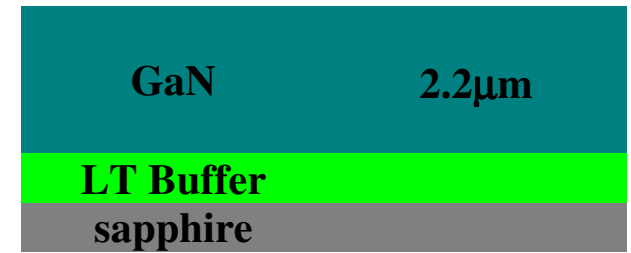
topografia



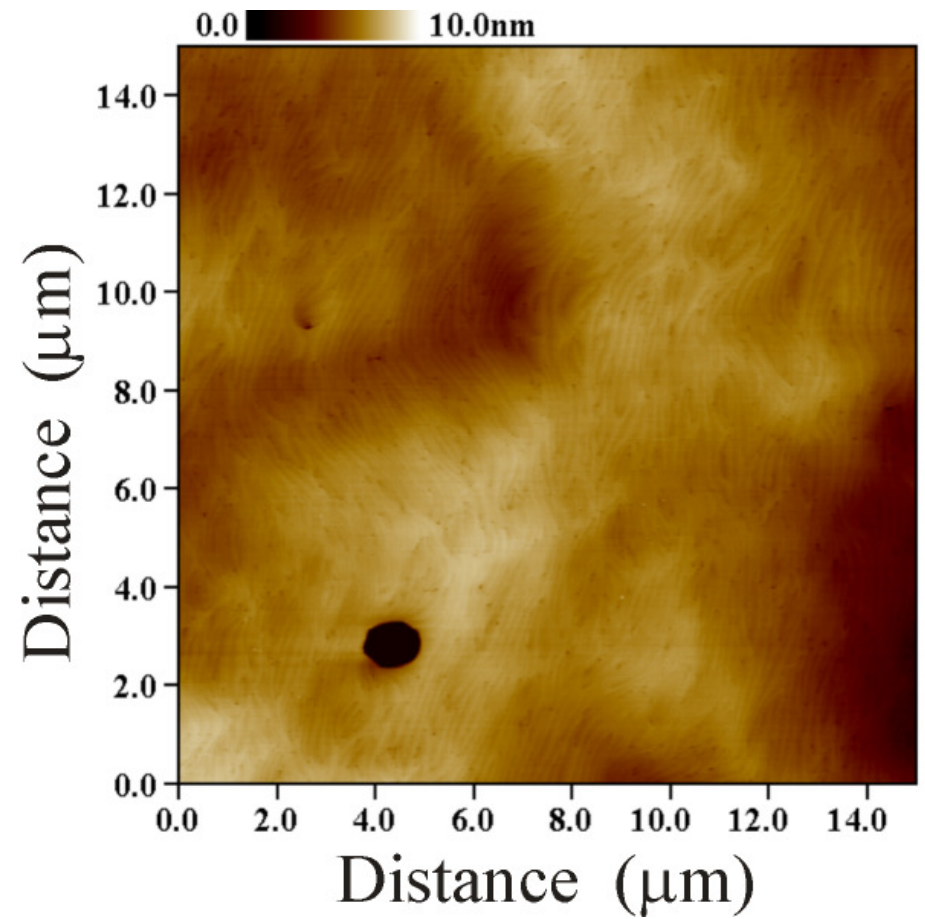
potencjał

granica półprzezroczystej warstwy Au

# GaN

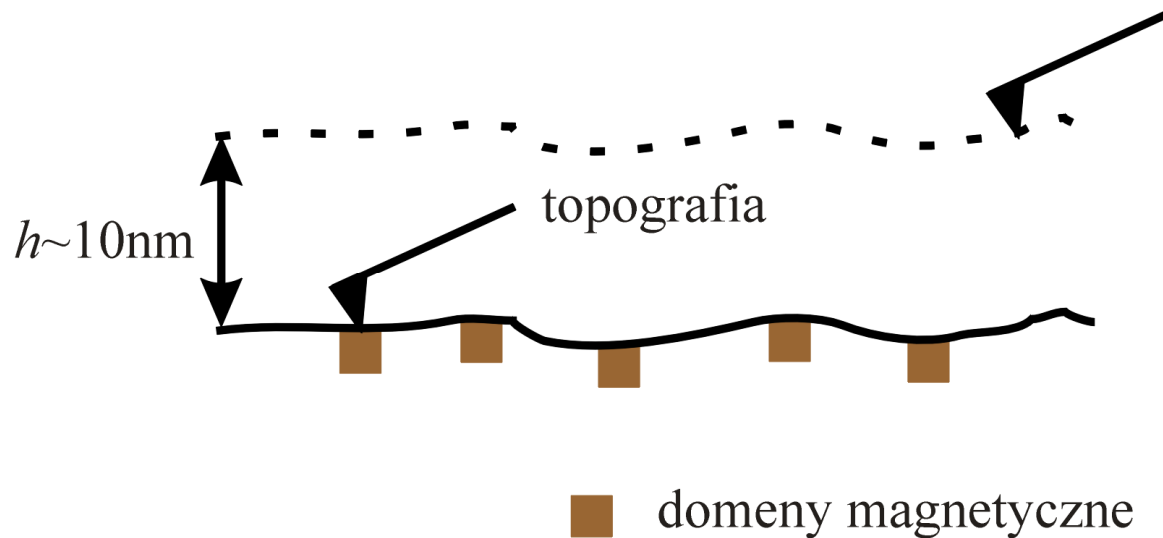


potecjał (KPFM)



topografia (AFM)

# MFM – Magnetic Force Microscopy

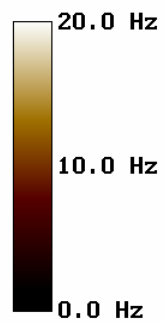
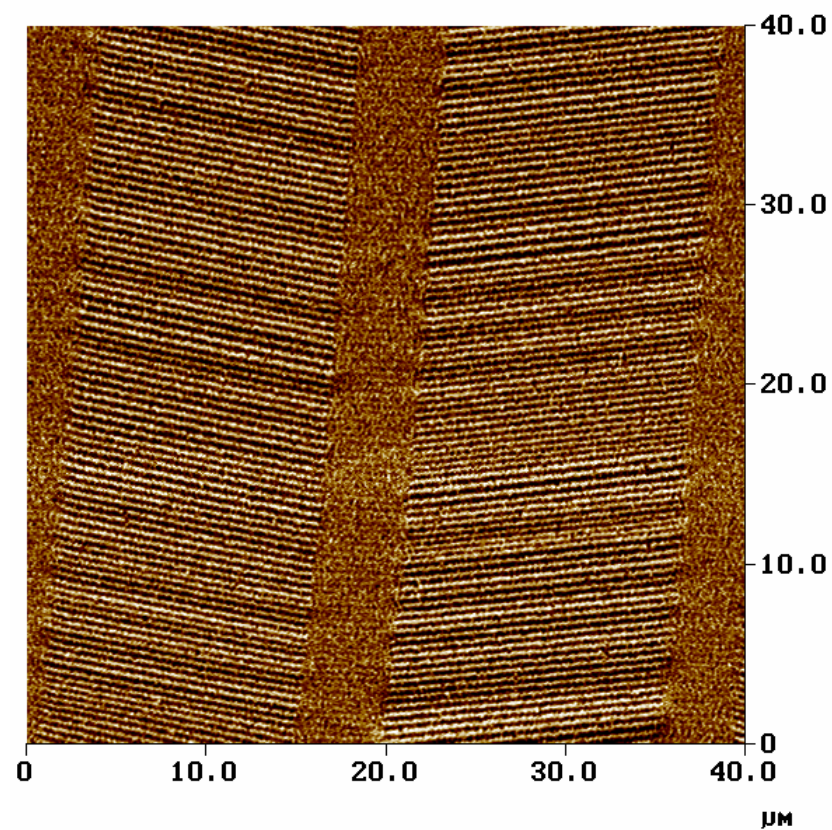
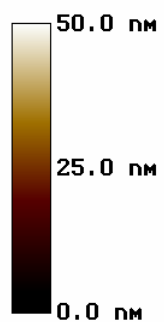
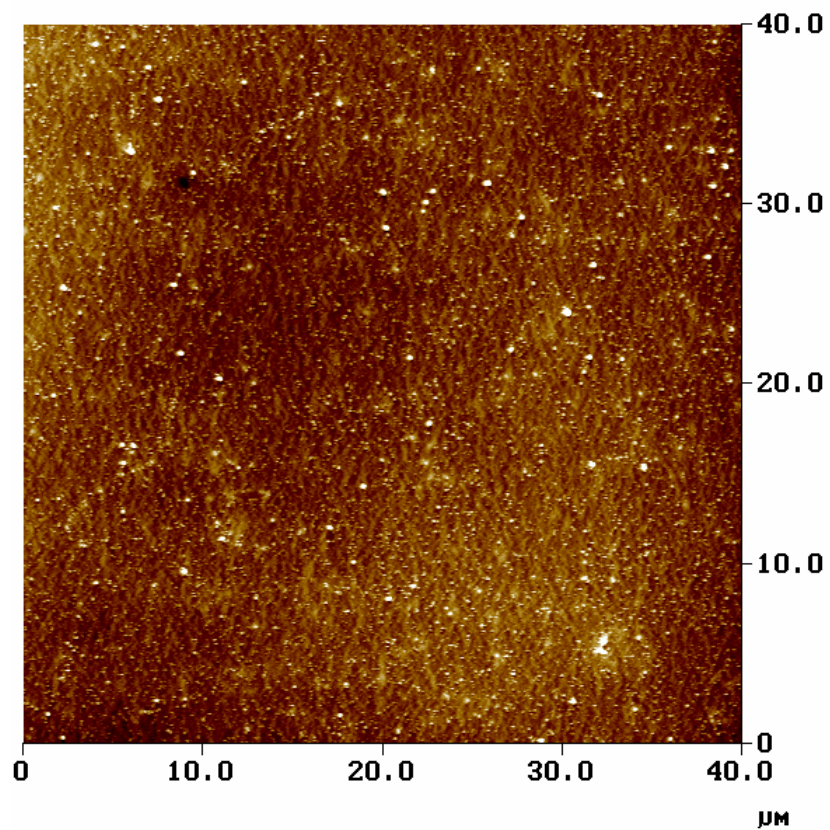


$$F(x) = F(x_0) + (x - x_0) \frac{\partial F}{\partial x} + \dots \quad \Delta\omega_0 = \frac{1}{2} \frac{\partial F}{\partial x} \frac{\omega_0}{k}$$

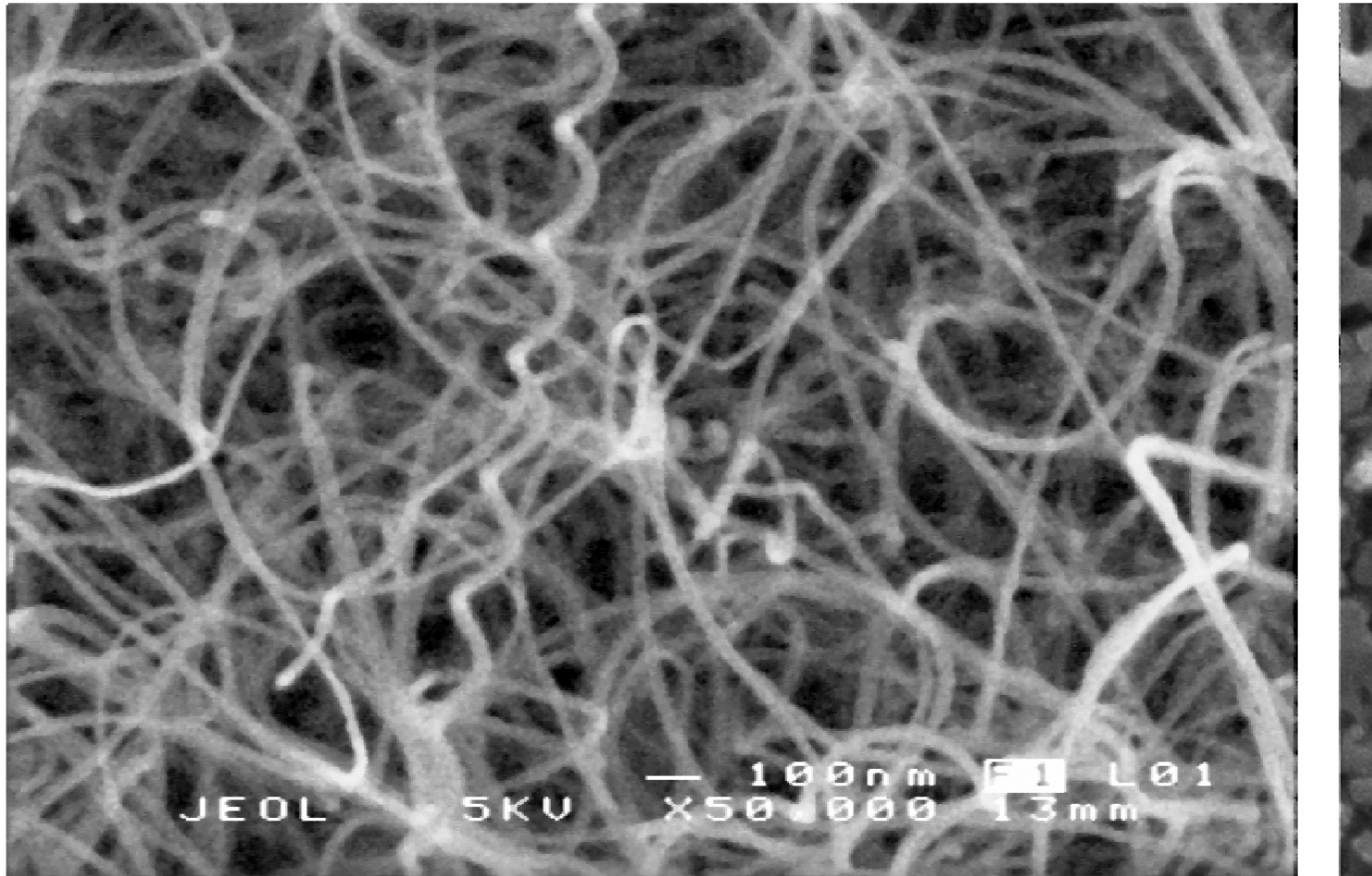
Siła magnetyczna (gradient)  $\Leftrightarrow$  zmiana częstości rezonansowej

Pętla sprzężenia zwrotnego: utrzymanie rezonansu

# Mikroskop sił magnetycznych (MFM)



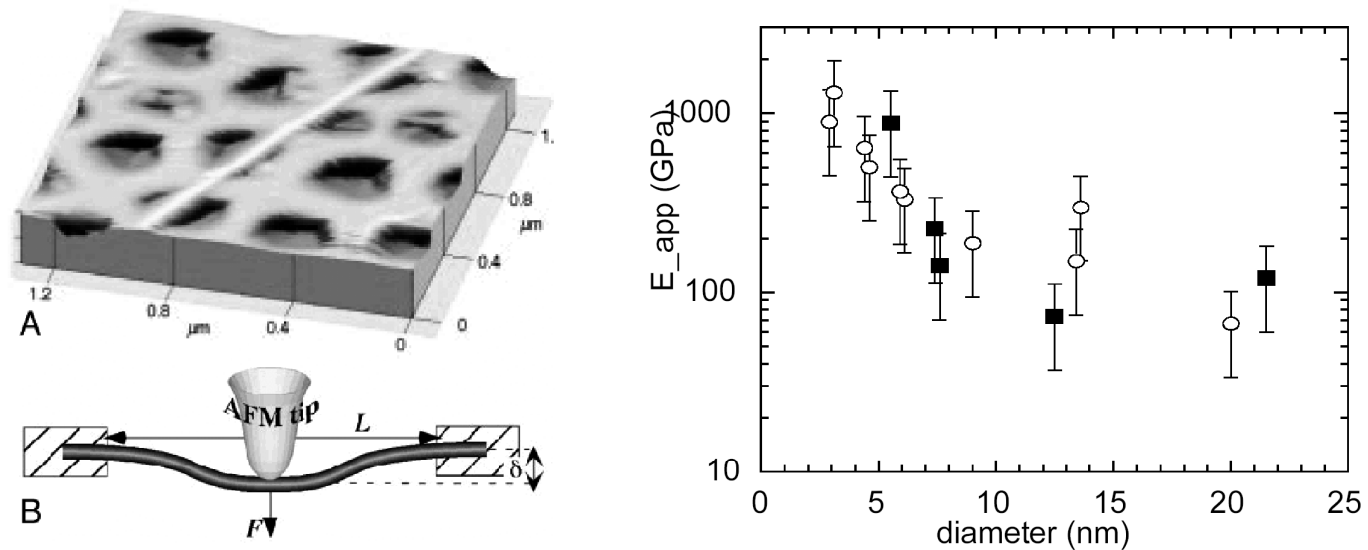
# Nanorurki węglowe



**Figure 3.** Scanning electron (SEM) micrographs of MWNTs

L. Forrero et al. *Electronic and mechanical properties of carbon nanotubes,*

# Moduł Younga dla nanorurki?



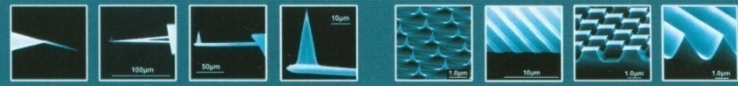
**Figure 5.** Dependence of the apparent Young's modulus ( $E_{app}$ ) on the diameter of SWNT bundles measured using AFM. The untreated bundles are represented by the open circles and the hydrogenated and irradiated bundles by the filled squares.

L. Forrero et al. *Electronic and mechanical properties of carbon nanotubes* (Wikipedia)

A. Volodin et al., Phys. Rev. Lett. **84**, 3342 (2000)

Palaci et al., Phys. Rev. Lett. **94**, 175502 (2005)

# NT-MDT sets new standards for SPM solutions



The widest range of Scanning Probe Microscopes and related products

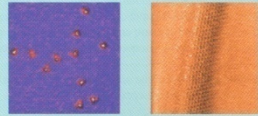


Demagnetization of the hard disk sample with the external magnetic field increase (0, 1520 Gauss). MFM images. Scan size: 30x30µm.



AFM image of composite protein film with areas of different components. Scan size: 3x3 µm.

AFM nanolithography image obtained by electrical local probe oxidation technique on ultrathin titanium film. Scan size 2.5x2.5 µm.



Monoclonal antibodies IRK2 to A-chain of ricin (IgG1). Scan size: 270x270x3 nm.

STM image of carbon nanotube deposited on an HOPG substrate. Scan size: 20x20 nm.

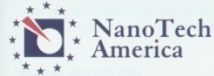


Solver HV

Solver P47H

Solver SNOM

Solver LS



**NanoTech America**

Distributed through **NanoTech America**:  
313 South Jupiter Road, Suite 105  
Allen, TX 75002  
P: 972-954-8014; F: 972-954-8018; E: info@nt-america.com



**NT-MDT**  
Molecular Devices and Tools for NanoTechnology

For more information, see <http://advertisers.mrs.org>



## Nanosurf® Mobile S The Next Generation AFM



**Nanosurf AG**  
Grammetstrasse 14  
CH-4410 Liestal

Tel. +41-61-927 56 46 Fax +41-61-927 56 47 [www.nanosurf.com](http://www.nanosurf.com)

For more information, see <http://advertisers.mrs.org>



[www.veeco-europe.com](http://www.veeco-europe.com)